

پیوستگی بین آرماتور و بتن های بازیافته

محمد رضا اصفهانی (استاد)

امین حاکمی (کارشناس ارشد)

دانشکده هندسی عمران، دانشگاه فردوسی مشهد

در این پژوهش، پیوستگی بین آرماتور و بتن ساخته شده از سنگ دانه‌ی بازیافته بررسی می‌شود. بدین منظور هشت نوع بتن شامل دو گروه بتن خودمتراکم و معمولی، و در هر گروه چهار مخلوط بتن با درصد سنگ دانه‌های بازیافته مختلف (۰، ۳۰، ۵۰ و ۱۰۰ درصد) ساخته شد. نمونه‌های آزمایشگاهی بلوک‌های بتی به ابعاد $8 \times 25 \times 45$ سانتی‌متر بودند که در هر یک ۴ عدد آرماتور (۲ آرماتور در پایین و ۲ آرماتور در بالا) تعییه شد تا مقاومت پیوستگی آنها در این نوع بتن‌ها بررسی شود. بنابراین در مجموع ۶۴ آرماتور در ۱۶ نمونه بتی آزمایش شد. آزمایش‌ها نشان داد که استفاده از سنگ دانه‌ی بازیافته در بتن خودمتراکم سبب کاهش محسوس در مقاومت پیوستگی نمی‌شود، اما در بتن معمولی باعث کاهش مقاومت پیوستگی می‌شود. همچنین اثر آرماتور بالایی در بتن‌های خودمتراکم بازیافته از بتن معمولی بازیافته کمتر است.

esfahani@um.ac.ir
aminhakemi@yahoo.com

واژگان کلیدی: آرماتور بالایی، بتن بازیافته، بتن خودمتراکم، مقاومت پیوستگی.

۱. مقدمه

پیوستگی بین آرماتور و بتن یکی از مهم‌ترین سازوکارها در مقاومت سازه‌های بتن مسلح است. یکی از عوامل مهم در مقاومت پیوستگی «مشخصات بتن» است. نتایج کارهای گذشته نشان می‌دهد که علاوه بر مقاومت بتن عوامل دیگری مانند قطر آرماتور، ارتفاع قرارگیری آرماتور، مشخصات هندسی آج‌ها، وجود آرماتور جانبه، ضخامت پوشش بتی، نوع و مشخصات بتن، طول پیوستگی و حالت‌های بارگذاری بر مقاومت پیوستگی مؤثرند. یکی از انواع بتن‌ها که امروزه کاربرد زیادی در سطح جهان پیدا کرده است، بتن خودمتراکم (SCC)^۱ است. بتن خودمتراکم بتی است که برای جای دهی در قالب به هیچ نوع انرژی متراکم‌کننده — ویبره‌ی داخلی و خارجی — نیاز ندارد. تاکنون مطالعات زیادی درمورد بتن خودمتراکم انجام، و استانداردهایی برای تهیی آن ارائه شده است.^{۲-۳} در ایران نیز کارهای تحقیقاتی زیادی درمورد خصوصیات و رفتار سازه‌ی بتن خودمتراکم انجام^{۴-۵} و استانداردهایی نیز ارائه شده است.^{۶-۷}

بازیافت بتن که یکی از پرصرف‌ترین مواد ساخت بشر است امری الزامی به نظر می‌رسد. بهترین راه بازیافت بتن‌های ضایعاتی، استفاده‌ی مجدد از بتن خردشده به عنوان سنگ دانه‌ی مورد استفاده در بتن‌های جدید است. بتن‌های بازیافته، مانند سنگ دانه‌های بازیافته، نسبت به بتن معمولی مشخصات فیزیکی و مکانیکی ضعیف‌تری دارند.

بیشتر مطالعات گذشته بر روی پیوستگی بتن معمولی (NC)^۸، که نیاز به ویبره دارند، انجام گرفته و در سال‌های اخیر مطالعاتی نیز درمورد پیوستگی بتن

ب) رقم آورده شده بعد از دو حرف اول بیانگر درصد سنگدانه های بازیافتی بتن است. به عنوان مثال اختصار SR^{۵۰} معنی بتن خودمتراکم بازیافتی با ۵۰٪ سنگدانه ای بازیافتی است.

۱.۲. مشخصات آرماتور

آرماتور مورد استفاده از نوع آج دار با قطر اسمی ۱۸ میلی متر از تولیدات کارخانه ذوب آهن اصفهان است. نتش تسلیم آرماتور برابر با ۳۹۲ MPa و تشنهای گسیختگی برابر ۶۱۲ MPa است. اندازه گیری ها نشان داد که زاویه ای جدار آج آرماتور در حدود ۴۰ تا ۴۵ درجه، فاصله ای آج ها ۱ سانتی متر، پهنای آج حدود ۲۲ سانتی متر و ارتفاع آج در بیشترین مقدار برابر ۲۰ سانتی متر است. در آرماتور استفاده شده سطح نسبی آج آرماتور (R) حدود ۷۰٪ است.^[۲۳] R نسبت تصویر سطح آج روی صفحه ای عمود بر امتداد آرماتور به محیط اسمی آرماتور ضربه در فاصله ای مرکز تا مرکز آج ها است.

۲.۱. مشخصات مخلوط های بتن

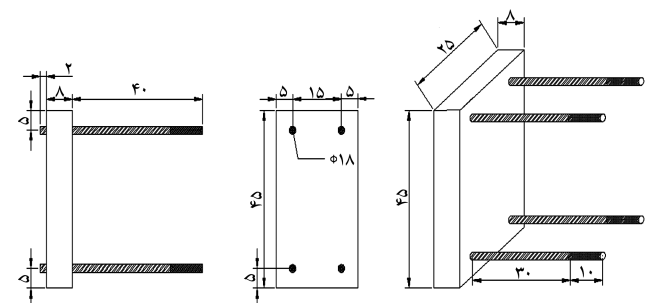
سیمان مصرفی در آزمایش از نوع ۱۴۲۵ (پرتلند نوع ۱ و مقاومت ۲۸ روزه) ۴۲۵ از تولیدات کارخانه ای سیمان قائن بوده است. فوق روان کننده های مورد استفاده از محصولات شرکت CRYSO با پایه ای شیمیابی پلی نفتالین مبتنی بر سپارگوگرددار و بونگ قهوه ای است. براساس گزارش شرکت سازنده، این محصول ضوابط استاندارد ASTM C۹۹۴-۹۲ را برآورده کرده است.^[۲۴] بیشترین اندازه ای سنگدانه در این آزمایش ۱۲ میلی متر است. درشت دانه های طبیعی تیزگوشاند و از خردشدن سنگ به دست آمد هاند. ریزدانه های طبیعی از مصالح رودخانه ای تهیه شده است. درشت دانه و ریزدانه ای بازیافتی حاصل از خرد کردن نمونه های بتن ضایعاتی با مقاومت فشاری اولیه ۳۰ تا ۴۵ مگا پاسکال است. برای به دست اوردن ریزدانه و درشت دانه ای بازیافتی ابتدا به سیله ای الک های استاندارد دانه بندی سنگدانه های طبیعی محاسبه شد و سپس براساس این درصد ها، سنگدانه های بازیافتی با هم مخلوط شدند. عبارت دیگر، دانه بندی مصالح طبیعی و بازیافتی بکسان است تا در مقایسه ای نتایج آزمایش اثر اندازه ای دانه بندی وارد نشود. دانه بندی ریزدانه و درشت دانه به همراه محدوده دانه بندی مطلوب در استاندارد ۸-۴۲ ASTM C۳۳-۲ نشان داده شده است.^[۲۵] مدول نرمی ریزدانه برابر ۳/۵۴ است، و مشخصات فیزیکی سنگدانه ها نیز در جدول ۱ ارائه شده است. در جدول ۲ جزئیات مخلوط بتن در سری های مختلف آزمایشی آورده شده است. نسبت های ریزدانه و درشت دانه طوری انتخاب شده که دانه بندی مخلوط بتن در محدوده پیشنهادی ASTM قرار گیرد. در بتن خودمتراکم از پودر سنگ به عنوان پرکننده، به منظور افزایش روانی بتن استفاده شده است. برای کنترل کیفیت بتن خودمتراکم چهار آزمایش تعیین جریان اسلامپ، اسلامپ ۵۰، حلقه ای J و جعبه ای L انجام شد. (سه آزمایش اول در آزمایشگاه بتن دانشکده مهندسی، آزمایش چهارم در آزمایشگاه شرکت بنیان بتن انجام شد). نتایج آزمایش جریان اسلامپ و اسلامپ ۵۰ در جدول ۲ آورده شده است. این نتایج در محدوده متعارف پیشنهادی محققین (بین ۶۰۰ و ۸۰۰) است. اختلاف نتایج جریان اسلامپ و حلقه ای J برای نمونه های مختلف در حدود ۲۵ میلی متر بوده و طبق استاندارد ۲۰۰۶-۲۰۱۶ ASTM C۱۶۲۱ انسداد مشاهده نشده است.^[۲۶] قابلیت عبور در آزمایش جعبه ای L نیز برای نمونه ها بین ۹۱٪ و ۹۵٪ بوده که مناسب است. نتایج فوق با توجه به بیشترین اندازه ای سنگدانه ای مصرفی (۱۲ میلی متر) منطقی به نظر می رسد.

نظر می رسد. در این مطالعه مقاومت پیوستگی موضعی بتن خودمتراکم و معمولی با استفاده از درصد های مختلف سنگدانه ای بازیافتی بررسی می شود. با توجه به زیاد بودن انحراف معیار در مورد نتایج مقاومت پیوستگی، برای هر مخلوط بتنی تعداد ۴ آرماتور با قطر یکسان (هم در پایین و هم در بالا) در ۲ نمونه مشابه قرار داده و آزمایش شد. میانگین ۴ نمونه ای مشابه به عنوان مقاومت پیوستگی هر حالت در نظر گرفته شد.

۲. نمونه های آزمایشی

در این مطالعه آزمایشگاهی هشت نوع بتن در دو گروه بتن خودمتراکم (SCC) و معمولی (NC)، و در هر گروه چهار نوع بتن با درصد سنگدانه ای بازیافتی مختلف (۵، ۳۰، ۵۰ و ۱۰۰ درصد) ساخته شد. برای هر نوع بتن دو نمونه مشابه ساخته شد و در هر نمونه چهار عدد آرماتور (دو عدد در بالا و دو عدد در پایین) قرار داده شد. بنا بر این، در مجموع تعداد ۶۴ آرماتور تحت آزمایش پیوستگی قرار گرفت. اثر آرماتور بالایی بر مقاومت پیوستگی با قرار دادن آرماتور در ارتفاع ۴۰ سانتی متری از کف هر نمونه بررسی شد. برای تمام آرماتورها با قطر اسمی $d_b = 18\text{ mm}$ نسبت پوشش بتن به قطر آرماتور $C/d_b = 2/2$ است. ابعاد نمونه های بتنی $8 \times 25 \times 45$ سانتی متر، طول آرماتورها ۵۰ سانتی متر، و طول مهارشده ای آرماتور در بتن ۸ سانتی متر است (شکل ۱). این ابعاد طوری انتخاب شده که آزمایش شکست پیوستگی برای هر آرماتور، اثری بر مقاومت پیوستگی سایر آرماتورها در هر نمونه نگذارد. در نمونه های آزمایشگاهی طول پیوستگی کوتاه در نظر گرفته شده تا تشن پیوستگی در طول آرماتور تقریباً یکنواخت، و اثر توزیع تنش پیوستگی در محاسبات قابل چشم بوشی باشد. در مطالعات گذشته از این نوع نمونه های استفاده زیاد شده است.^[۲۷-۲۸] ضمناً هر نمونه شامل ۴ عدد آرماتور است که شکست هر یک از آنها به صورت مستقل از دیگران انجام می شود؛ به عبارت دیگر هر نمونه شامل ۴ آزمایش مستقل خواهد بود. برای نگه داری آرماتور در داخل فک جک ۱۰ سانتی متر از انتهای آرماتور رزوکاری شد تا بوسیله ای مهره محکم شود. برای هر سری بتن ریزی ۵ نمونه ای استوانه ای به ابعاد 20×10 سانتی متر برای تعیین مقاومت فشاری تهیه شد. با داشتن ۱۶ نمونه از ۸ نوع بتن در ۲ گروه نمونه های بتن معمولی بازیافتی و بتن خودمتراکم بازیافتی و با توجه به درصد بازیافت های مقاومت از انتهای آرماتور رزوکاری شد تا بوسیله ای مهره محکم شود. جک هر سری بتن ریزی ۵ نمونه ای استوانه ای به ابعاد 20×10 سانتی متر برای تعیین مقاومت فشاری تهیه شد. با داشتن ۱۶ نمونه از ۸ نوع بتن در ۲ گروه نمونه های بتن معمولی بازیافتی و بتن خودمتراکم بازیافتی و با توجه به درصد بازیافت های انجام شد:

الف) دو حرف اول نام گذاری نشان دهنده خودمتراکم با معمولی بودن بتن بازیافتی است. NR. معرف بتن معمولی و SR معرف بتن خودمتراکم است.



شکل ۱. جزئیات نمونه های آزمایشگاهی (ابعاد بر حسب سانتی متر).

جدول ۱. مشخصات فیزیکی سنگ‌دانه‌ها.

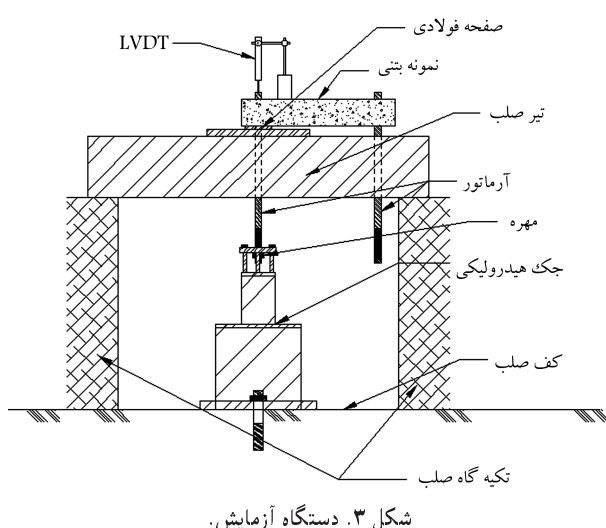
نوع سنگ‌دانه	درصد جذب آب	وزن مخصوص ظاهری	وزن مخصوص واقعی	وزن مخصوص خشک انبوحی
ریزدانه‌ی طبیعی	۳,۷۲	۲,۷۰	۲,۰۵	۱,۸۴
ریزدانه‌ی بازیافتی	۱۹,۹۹	۲,۵۰	۲,۰۰	۱,۵۰
درشتدانه‌ی طبیعی	۰,۶۶	۲,۷	۲,۶۵	۱,۴۹
درشتدانه‌ی بازیافتی	۶,۵۶	۲,۵۶	۲,۲۹	۱,۲۶

جدول ۲. جزئیات مخلوط بتن.

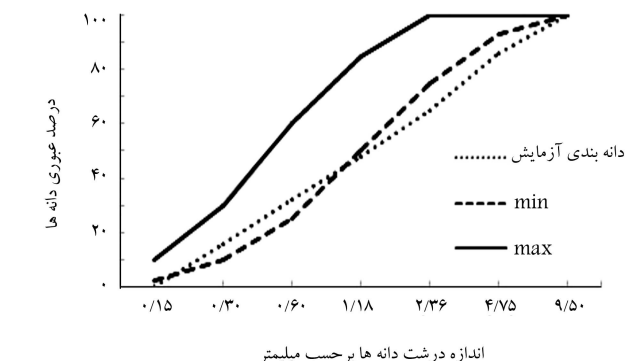
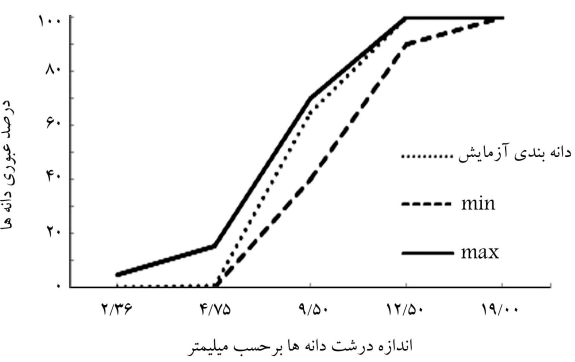
نوع بتن	f'_c (MPa)	(%) w/c	سیمان (Kg/m³)	آب (Kg/m³)	درشت‌دانه‌ی طبیعی (Kg/m³)	ریز‌دانه‌ی طبیعی (Kg/m³)	درشت‌دانه‌ی بازیافتی (Kg/m³)	ریز‌دانه‌ی بازیافتی (Kg/m³)	فیبر (Kg/m³)	فوق روان کننده (Kg/m³)	اسلامپ (mm)	قطر جریان اسلامپ (mm)	اسلامپ (s) T_5
۴۴	۲۲	۳۷	۴۱	۵۲	۲۷	۳۱	۳۴	۴۷	۴۷	۴۷	۴۷	۴۷	۴۷
۰,۴۶	۰,۴۶	۰,۴۲	۰,۴۲	۰,۴۱	۰,۵۹	۰,۵۵	۰,۴۷	۰,۴۷	۰,۴۷	۰,۴۷	۰,۴۷	۰,۴۷	۰,۴۷
۴۵۰	۴۵۰	۴۵۰	۴۵۰	۴۵۰	۴۰۰	۳۸۵	۳۸۵	۳۸۵	۳۸۵	۳۸۵	۳۸۵	۳۸۵	۳۸۵
۲۰۵	۱۹۰	۱۹۰	۱۸۵	۲۳۵	۲۱۰	۱۸۰	۱۸۰	۱۸۰	۱۸۰	۱۸۰	۱۸۰	۱۸۰	۱۸۰
۰	۳۷۵	۵۰۰	۷۱۵	—	۵۱۵	۷۳۵	۱۰۵۰	—	—	—	—	—	—
۰	۳۹۳	۵۵۰	۷۸۵	—	۳۷۲	۵۰۰	۷۱۱	—	—	—	—	—	—
۷۱۵	۳۵۷	۲۱۳	—	۱۰۲۰	۵۱۵	۳۱۵	—	—	—	—	—	—	—
۷۹۰	۳۹۳	۲۳۴	—	۷۱۰	۳۷۲	۲۱۴	—	—	—	—	—	—	—
۱۸۰	۱۸۰	۲۲۰	۲۱۰	—	—	—	—	—	—	—	—	—	—
۶,۲	۵,۶	۵,۵	۵	۰,۶	۰,۶	۰,۶	۰,۶	۰,۶	۰,۸	۰,۸	۰,۸	۰,۸	۰,۸
—	—	—	—	۱۰۰	۷۰	۸۰	۶۰	—	—	—	—	—	—
۷۸۰	۷۰۰	۷۵۰	۸۰۰	—	—	—	—	—	—	—	—	—	—
۳,۲	۴,۵	۳	۳	—	—	—	—	—	—	—	—	—	—

۳. دستگاه و روش آزمایش

در شکل ۳ دستگاه آزمایش برای تعیین ظرفیت پیوستگی نشان داده شده است. نیروی جک به‌وسیله‌ی یک عدد نیروسنجه توسط دستگاه دیجیتال ثبت داده‌ها قرائت شد. لغزش انتهای آرماتور از بتن نیز به‌وسیله‌ی یک عدد LVDT ثبت شد. برای کشیدن آرماتور از داخل بتن مطابق شکل ۳، نمونه روی تیر صلب قرار گرفته و آرماتور در دهانه‌ی جک توسط مهره محکم شد. آرماتور با نیروی بیا



شکل ۳. دستگاه آزمایش.



شکل ۲. منحنی دانه‌بندی ریزدانه و درشت‌دانه به همراه محدوده‌ی پیشنهادی [۲۰]. ASTM C. ۳۳-۸۴

$$u_c = \frac{C/db + 0,5}{C/db + 0,5} f_{ct} \quad f'_c \geq 50 \text{ MPa} \quad (3)$$

در معادله‌های فوق u_c ظرفیت پیوستگی موضعی (ظرفیت پیوستگی در طول کوتاه)، C کمترین ضخامت پوشش بتن، db قطر آرماتور، و $f'_c = 0,55$ مقاومت کششی بتن برای بتن‌های با مقاومت فشاری بین ۲۱ تا ۸۴ مگاپاسکال است.^[۲۳] طبق آیینه‌نامه‌ی ACI ۳۱۸-۰۸ طول مهاری برای آرماتور آچ دار با قطر ۲۰ mm و کوچک‌تر از رابطه‌ی ۴ محاسبه می‌شود.^[۲۴]

$$L_d = db \left(\frac{12 f_y \psi_t \psi_e \lambda}{25 \sqrt{f'_c}} \right) \quad (4)$$

که در آن ψ عامل محل قرارگیری آرماتور ($1/3$) = ψ_t برای آرماتور بالایی و ψ_e برای آرماتور پایینی)، ψ عامل پوشش آرماتور (1) = ψ برای آرماتور بدون پوشش و λ ضریب بتن با دانه‌ی سبک است (1) = λ برای بتن با وزن معمولی است). با قرار دادن رابطه‌ی ۴ در رابطه‌ی مقاومت پیوستگی (رابطه‌ی ۵) و در نظر گرفتن مقادیر $\psi_t = \psi_e = \lambda = 1$ و نیز با استفاده از بیشترین ظرفیت کششی فولاد $f_y = f_s$ به رابطه‌های ۶ و ۷ دست‌می‌یابیم:

$$u = \frac{A_s f_s}{\pi db L} \quad (5)$$

$$u_{ACI} = \frac{25 \sqrt{f'_c}}{12 \times 3,2} \quad (\text{برای آرماتور پایینی}) \quad (6)$$

$$u_{ACI} = \frac{25 \sqrt{f'_c}}{12 \times 3,2 \times 1,3} \quad (\text{برای آرماتور بالایی}) \quad (7)$$

در جدول ۳ خلاصه‌ی نتایج آزمایش‌ها به همراه مقایسه‌ی آنها آورده شده است. در این جدول، هریک از مقادیر نیروهای آزمایشی F و تنش نهایی منوطه u_{test} ، میانگین نتایج ۴ نمونه‌ی آزمایشی مشابه است. نیروهای آزمایشی F بیشینه نیروی ثبت شده توسط دستگاه ثبت داده‌ها بوده است. مقایسه‌ی نتایج پیوستگی آزمایشگاهی و محاسباتی برای آرماتورهای پایینی با تعیین نسبت u_{test}/u_c در جدول ۳ آورده

سرعت حدود ۲۵ کیلوونیون در دقیقه تحت کشش قرارگرفت. به منظور ایجاد تکیه‌گاه مناسب برای نمونه‌ی بتونی روی تیر صلب، از یک صفحه‌ی مستطیل شکل فولادی به ابعاد 10×10 سانتی‌متر و ضخامت ۲ سانتی‌متر که سوراخی به قطر ۲۴ میلی‌متر در وسط آن تعییه شده استفاده شد. روی این صفحه قدری گریس بخش شد تا از احتکاک آن با بتون کاسته شده و بتون بتواند در اثر تنش‌های شعاعی ناشی از پیروزی کشیدگی آرماتور به راحتی تغییر مکان جانبه‌ی دهد.

۴. نتایج آزمایشگاهی و مقایسه‌ی آنها با مقادیر

محاسباتی و روابط آئینه‌نامه‌ها

برای به دست آوردن مقاومت پیوستگی نمونه‌ها در آزمایشگاه، عموماً از رابطه‌ی ۱ با فرض تنش پیوستگی یکنواخت در طول آرماتور استفاده می‌شود.^[۲۵]

$$u = \frac{F}{\pi db L} \quad (1)$$

که در آن db قطر آرماتور، L طول پیوستگی، F نیرویی که باعث شکست نمونه شده و u تنش پیوستگی است. معمولاً برای مقایسه‌ی مقاومت پیوستگی نمونه‌ها، از مقاومت پیوستگی نرمال شده نسبت به $f'_c = 0,5$ ، یعنی مقدار $u/f'_c = 0,5$ ، استفاده می‌شود. برای محاسبه‌ی مقاومت‌های پیوستگی موضعی از روابط ارائه شده توسط نگارنده استفاده می‌شود.^[۲۶] پیش‌تر نشان داده شد که این روابط به خوبی با نتایج آزمایشگاهی گذشته مطابقت داشته و از سایر روابط ارائه شده دقیق‌ترند.^[۲۷] این روابط که با اصلاح نظریه‌ی استوانه‌ی نیمه‌ترک خورده به دست آمده‌اند،^[۲۸] برای بتن با مقاومت معمولی ($50 \text{ MPa} < f'_c \leq 50 \text{ MPa}$) و بتن با مقاومت بالا ($f'_c \geq 50 \text{ MPa}$) عبارت‌اند از:

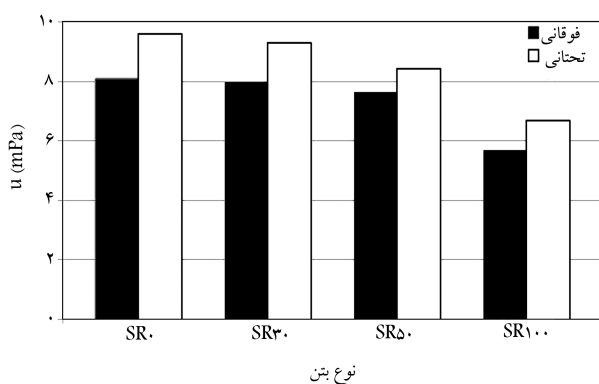
$$u_c = 4,9 \frac{C/db + 0,5}{C/db + 3,6} f_{ct} \quad f'_c < 50 \text{ MPa} \quad (2)$$

جدول ۳. خلاصه‌ی نتایج آزمایش‌ها به همراه مقایسه‌ی آنها با مقادیر محاسباتی.

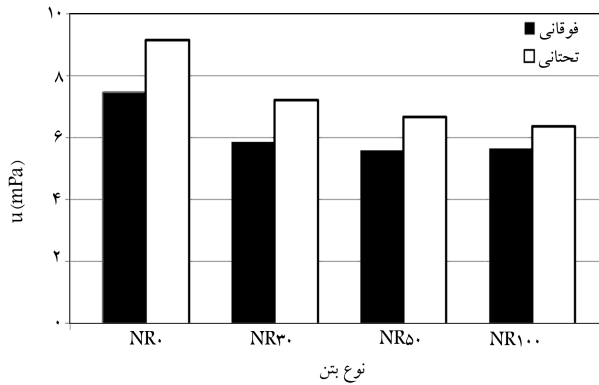
u_{test}/u_c	$u_c(\text{MPa})$ (Eq. ۲,۳)	u_{test}/u_{ACI}	$u_{ACI}(\text{MPa})$ (Eq. ۶,۷)	$u/(f'_c)^{0,5}$	u_{test} (MPa)	F (kN)	محل آرماتور	f'_c (MPa)	نوع بتن
—	—	۲,۲۴	۳,۶۱	۱,۱۲	۸,۱	۳۶,۶	بالایی	۵۲	SR ^۰
۱,۰۵	۹,۱۱	۲,۰۴	۴,۷۰	۱,۳۳	۹,۵۹	۴۱,۲	پایینی		
—	—	۲,۴۸	۳,۲۲	۱,۲۴	۷,۹۷	۳۶,۱	بالایی	۴۱	SR ^۰
۱,۱۵	۸,۱۱	۲,۲۲	۴,۱۸	۱,۴۵	۹,۴۹	۳۶,۷	پایینی		
—	—	۲,۵۰	۳,۰۵	۱,۲۵	۷,۶۴	۳۴,۶	بالایی	۳۷	SR ^۰
۱,۰۹	۷,۷۰	۲,۱۲	۳,۹۷	۱,۳۸	۸,۴۱	۳۴,۸	پایینی		
—	—	۲,۳۹	۲,۳۸	۱,۲	۵,۶۷	۲۵,۷	بالایی	۲۳	SR ^{۱۰۰}
۱,۱۲	۵,۹۹	۲,۱۶	۳,۰۹	۱,۴۱	۶,۶۸	۲۷,۱	پایینی		
—	—	۲,۲۸	۲,۳۱	۱,۱۳	۷,۵۴	۳۴,۱	بالایی	۴۴	NR ^۰
۱,۱۰	۸,۳۵	۲,۱۳	۴,۳۰	۱,۳۸	۹,۱۵	۳۷,۸	پایینی		
—	—	۲,۰۲	۲,۹۱	۱,۰۱	۵,۸۶	۲۶,۵	بالایی	۳۴	NR ^۰
۰,۹۹	۷,۳۳	۱,۹۱	۲,۷۸	۱,۲۴	۷,۲۲	۲۳,۲	پایینی		
—	—	۲,۰۱	۲,۷۸	۱,۰۱	۵,۵۹	۲۵,۳	بالایی	۲۱	NR ^۰
۰,۹۵	۷,۰۱	۱,۸۵	۲,۶۱	۱,۲	۶,۶۸	۳۱,۷	پایینی		
—	—	۲,۱۸	۲,۰۹	۱,۰۹	۵,۶۴	۲۵,۵	بالایی	۲۷	NR ^{۱۰۰}
۰,۹۷	۶,۵۳	۱,۸۹	۲,۳۷	۱,۲۳	۶,۳۶	۲۹,۵	پایینی		

جدول ۴. درصد کاهش مقاومت پیوستگی آرماتور بالایی نسبت به آرماتور پایینی در نمونه‌ها.

درصد بازیافت					نوع بتن
۱۰۰	۵۰	۳۰	۰	%	
% ۱۵	% ۰۹	% ۱۴	% ۱۶	%	SCC
% ۱۲	% ۱۶	% ۱۹	% ۱۹	%	NC



شکل ۶. مقایسه‌ی مقاومت پیوستگی آرماتورهای پایینی و بالایی برای بتن SCC.



شکل ۷. مقایسه‌ی مقاومت پیوستگی آرماتورهای پایینی و بالایی برای بتن NC.

می‌شود که میزان کاهش مقاومت پیوستگی در اثر آرماتور بالایی برای نمونه‌های SCC کمتر از NC است. تنها در حالت ۱۰۰٪ بازیافت، کاهش مقاومت برای نمونه‌های قدری بیشتر از NC است.

۶. نتیجه‌گیری

در این مطالعه ۱۶ نمونه از بتن‌های بازیافته خودمتراکم و معمولی، هریک شامل ۴ عدد آرماتور ساخته و آزمایش شد. در مجموع ۶۴ عدد آرماتور تحت آزمایش پیوستگی بیرون‌کشیدگی قرار گرفتند. براساس مقادیر مقاومت‌های پیوستگی اندازه‌گیری شده و مقایسه‌ی آنها با روابط محاسباتی، نتایج زیر حاصل شد.

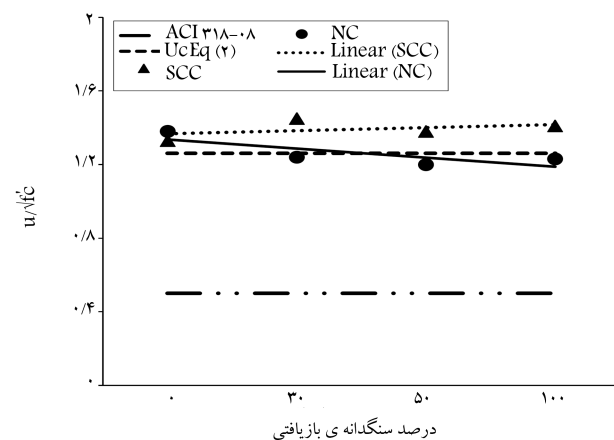
۱. مقاومت فشاری بتن معمولی NC و خودمتراکم SCC با بیشتر شدن درصد سنگدانه‌های بازیافته کاهش یافت. این کاهش برای SCC و NC در بتن با ۳۰٪ سنگدانه‌ی بازیافته به ترتیب برابر ۲۱٪ و ۲۳٪، در بتن با ۵۰٪ سنگدانه‌ی بازیافته برابر ۲۹٪ و ۳۰٪ و در بتن با ۱۰۰٪ سنگدانه‌ی بازیافته برابر ۵۷٪ و ۳۹٪ به دست آمد.

شده است. برای انواع بتن خودمتراکم نسبت u_{test}/u_c برابر ۱/۱۰ با انحراف معیار ۴٪ است. این مقادیر برای بتن معمولی به ترتیب برابر ۱/۰۵ و ۰/۰۶ است. برای تمام نمونه‌ها میانگین u_{test}/u_c برابر ۱/۰۵ با انحراف معیار ۷٪ است. این مقادیر نشان می‌دهد که رابطه‌ی ۳ به خوبی مقاومت پیوستگی را پیش‌بینی کرده است.

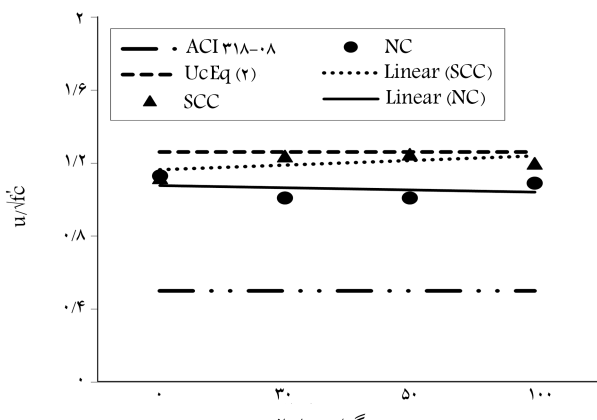
در شکل‌های ۴ و ۵ مقاومت پیوستگی نرمال شده نسبت به جذر مقاومت فشاری بتن $u/f_c^{0.5}$ برای بتن خودمتراکم و بتن معمولی با مقادیر محاسباتی ACI ۳۱۸-۰۸ و روابط پیشنهادی نگارنده [۲۳] به ترتیب برای آرماتور پایینی و بالایی مقایسه شده است.

۵. آرماتور بالایی

یکی از عواملی که در این برنامه‌ی آزمایشگاهی مطالعه شد اثر آرماتور بالایی روی مقاومت پیوستگی بود. در شکل‌های ۶ و ۷ نتایج مقاومت پیوستگی برای آرماتورهای بالایی و پایینی به ترتیب در بتن خودمتراکم و بتن معمولی مقایسه شده است. همچنین در جدول ۴ درصد کاهش مقاومت پیوستگی در اثر آرماتور بالایی برای SCC و NC با درصد سنگدانه‌های بازیافته متفاوت ارائه شده است. در جدول ۴ مشاهده



شکل ۴. مقایسه‌ی مقاومت پیوستگی نرمال $u/f_c^{0.5}$ برای آرماتور پایینی برای درصد بازیافته‌های مختلف.



شکل ۵. مقایسه‌ی مقاومت پیوستگی نرمال $u/f_c^{0.5}$ برای آرماتور بالایی برای درصد بازیافته‌های مختلف.

از NC است، به طوری که در بتن SCC بدون سنگ دانه‌ای بازیافته حدود ۱۶٪ کاهش و در بتن NC حدود ۱۹٪ کاهش حاصل شد. برای ۳۰٪ بازیافته کاهش مقاومت پیوستگی برای SCC و NC به ترتیب در حدود ۱۴٪ و ۱۹٪ است. این مقادیر برای ۵۰٪ سنگ دانه‌های بازیافته برابر ۹٪ و ۱۶٪ است. در بتن با ۱۰۰٪ سنگ دانه‌ای بازیافته، مقاومت پیوستگی بتن SCC نسبت به بتن NC قدری کمتر است.

به طور کلی می‌توان گفت که در صورت استفاده از بتن با سنگ دانه‌ای بازیافته، برای مقاومت فشاری یکسان، اگر بتن ساخته شده از نوع خودمترکم باشد، از نظر مقاومت پیوستگی از بتن معمولی مقاوم‌تر است.

پانوشت

1. self compacting concrete (SCC)
2. normal concrete (NC)
3. linear variable displacement transducer

منابع

1. ASTM C 1611, Standard Test Method for Slump flow of Self-Consolidating Concrete (2006).
2. ASTM C 1621, Standard Test Method for Passing Ability of Self-Consolidating Concrete by J-Ring (2006).
3. ACI 237R-07, Self Consolidating Concrete (2007).
4. مقصودی، علی‌اکبر؛ محمدی‌ینگجه، مسعود «مفصل پلاستیک در تیر-ستون‌های بتن مسلح با بتن خود مترکم (SCHSC)»، چهارمین کنگره ملی مهندسی عمران (۱۳۸۷).
5. فامیلی، هرمز؛ شاهجوبی، علیرضا؛ زادمهر، حامد «بتن خود مترکم»، دوین کنگره ملی مهندسی عمران (۱۳۸۴).
6. شریتدار، محمدکاظم؛ صابری، حمید؛ صابری، وحید «بررسی آزمایشگاهی تأثیر غییر پارامترهای ساخت بتن خود مترکم بر دوام آن»، دوین کنفرانس ملی بهسازی و مقاوم سازی ایران (۱۳۸۶).
7. مقصودی، علی‌اکبر؛ محمدی‌ینگجه، مسعود «خدمت‌پذیری تیرهای بتن مسلح با بتن خود مترکم مقاومت بالا»، دوین کنفرانس ملی بهسازی و مقاوم سازی ایران (۱۳۸۶).
8. مقصودی، علی‌اکبر؛ محمدپور، شهرام «طراحی، ساخت و بررسی خواص مکانیکی بتن سبک خود مترکم با و بدون نانو»، سومین کنگره ملی مهندسی عمران (۱۳۸۶).
9. مؤسسه استاندارد و تحقیقات صنعتی ایران، استاندارد شیوه‌ی آزمون جریان اسلامی بتن خود مترکم، استاندارد ملی ایران، چاپ اول (۱۳۸۷).
10. مؤسسه استاندارد و تحقیقات صنعتی ایران، استاندارد روش آزمون قابلیت عبورکنندگی بتن خود مترکم بوسیله دستگاه حلقه‌ی ایزولی ایران، چاپ اول (۱۳۸۷).
11. Valcuende, M. and Parra, C. "Bond behavior of reinforcement in self-compacting concretes," *Construction and Building Materials*, **23**(1) pp.162-170 (2008).
12. Chan, Y.W.; Chen, Y.G. and Liu, Y.S. "Development of bond strength of reinforcement steel in self-consolidating concrete," *ACI Structural Journal, Proceedings*, **100**(4), pp. 490-498 (2003).
13. Wang, G. and Zheng, J. "Bond behaviors of self-compacting concrete," In: Yu Z, Shi C, Khayat KH, Xie Y, editors. *Proceedings of first international symposium on design, performance and use of self consolidating concrete*. China: Changsha, pp. 465-71 (2005).
14. Sonebi, M. and Bartos, P.J.M. "Hardened SCC and its bond with reinforcement", In: Skarendhal A, Petersson O", editors. *Proceedings of first international RILEM symposium on self-compacting concrete*. Stockholm, pp. 275-89 (1999).
15. Zhu, W.; Sonebi, M. and Bartos, P.J.M. "Bond and interfacial properties of reinforcement in self-compacting concrete", *Material Structural, Proceedings*, **37**(7), PP. 442-448 (2004).
16. Collepardi, M.; Borsoi, A.; Collepardi, S. and Troli, R. "Strength, shrinkage and creep of SCC and flowing concrete", In: Shah SP editor. *Proceedings of second North American conference on the design and use of self consolidating concrete and fourth international RILEM symposium on self-compacting concrete*. Chicago, pp. 911-919 (2005).
17. Esfahani, M.R.; Lachemi, M. and Kianoush, M.R. "Top-bar effect of steel bars in self-consolidating concrete (SCC)", *Cement & Concrete Composites, Proceedings*, **30**(1), pp. 52-60 (2008).
18. Hassan, A.A.; Hossain, K.M.A. and Lachemi, M. "Bond strength of deformed bars in reinforced self-consolidating concrete beams", *ACI Journal Manuscript Submission*, Submitted by the Authors (06-Jan-2008).
19. Daoud, A.; Lorrain, M. and Laborderie, C. "Anchorage and cracking behavior of self-compacting concrete", In: Wallevik O, Nielsson I, editors. *Proceedings of third international RILEM symposium on self-compacting concrete*. Reykjavik, pp. 692-702 (2003).
20. Schiessl, A. and Zilch, K. "The effects of the modified composition of SCC on shear and bond behavior", In:

- Ozawa K, Ouchi M, editors. *Proceedings of second international RILEM symposium on self compacting concrete*. Tokyo, pp. 501-6 (2001).
21. Konig, G.; Holschemacher, K.; Dehn, F. and Weibe, D. "Self-compacting concrete-time development of material properties and bond behavior", In: Ozawa K, Ouchi M, editors. *Proceedings of second international RILEM symposium on self-compacting concrete*. Tokyo, pp. 507-16 (2001).
22. De Almeida, F.M.; De Nardin, S. and De Gresce, A.L.H. "Evaluation of the bond strength of self-compacting concrete in pull-out tests", In: Shah SP editor. *Proceedings of second North American Conference on the design and use of self-consolidating concrete and fourth international RILEM symposium on self-compacting concrete*. Chicago, pp. 953-958 (2005).
23. Esfahani, M.R. and Rangan, B.V. "Local bond strength of reinforcement bars in normal strength and high strength concrete (HSC)", *ACI Structural Journal, Proceedings*, **95**(2), pp. 96-106 (March-April 1998).
24. Tepfers, R. "A theory of bond applied to over lapped tensile reinforcement splices for deformed bars", Publication No. 73:2. Goteborg: Division of Concrete Structures, Chalmers University of Technology, Goteborg, pp. 328 (1973).
25. Tilantera, T. and Rechardt, T. "Bond of reinforcement in lightweight aggregate concrete", Division of Structural Engineering No. 17, Helsinki University of Technology, pp. 36 (1977)
26. Esfahani, M.R. and Rangan, B.V. "Bond between normal strength and high strength concrete (HSC) and reinforcing bars in splices in beams", *ACI Structural Journal*, **95**(3), pp. 272-280 (May-June 1998).
27. Esfahani, M.R. "Effect of silica fume, superplasticizer and concrete strength on steel-concrete bond", *Third International Conference on Concrete Under Severe Conditions, Vancouver, Canada, Proceedings* (June 2001).
28. Esfahani, M.R.; Kianoush, M.R. and Lachemi, M. "Bond strength of glass fiber reinforced polymer reinforcing bars in normal and self-consolidation concrete", *Canadian Journal of Civil Engineering*, **32**, pp. 553-560 (2005).
29. ASTM C994-92, American Standard for Testing and materials, USA (1992).
30. ASTM C33-84, American Standard for Testing and materials, USA (1984).
31. ASTM C1621-06, American Standard for Testing and materials, USA (2006).
32. Carrasquillo, R.L.; Nilson, A.H. and Slate, F. "Properties of high strength concrete subject to short-term loads", *ACI Journal*, **78**, pp. 171-178 (May-June 1981).
33. ACI Committee 318. Building code requirements for structural concrete (ACI 318-08) and commentary (318R-08). American Concrete Institute, Farmington Hills, MI, pp. 443 (2008).

